

# Removal of I by Adsorption with AgX (Ag-impregnated X Zeolite) from High-Radioactive Seawater Waste

## AgX (Ag-함침 X 제올라이트)에 의한 고방사성해수폐액으로부터 요오드(I)의 흡착 제거

Eil-Hee Lee\*, Keun-Young Lee, Kwang-Wook Kim, Hyung-Ju Kim, Ik-Soo Kim, Dong-Yong Chung, Jei-Kwon Moon, and Jong-Won Choi

Korea Atomic Energy Research Institute, 111 Daedeok-daero 989beon-gil, Yuseong-gu, Daejeon, Republic of Korea

이일희\*, 이근영, 김광욱, 김형주, 김익수, 정동용, 문제권, 최종원

한국원자력연구원, 대전광역시 유성구 대덕대로 989번길 111

(Received April 25, 2016 / Revised July 22, 2016 / Approved July 28, 2016)

This study aimed to the adsorption-removal of high- radioactive iodide (I) contained in the initially generated high-radioactive seawater waste (HSW), with the use of AgX (Ag-impregnated X zeolite). Adsorption of I by AgX (hereafter denoted as AgX-I adsorption) was increased by increasing the Ag-impregnated concentration in AgX, and its concentration was suitable at about 30 wt%. Because of AgCl precipitation by chloride ions contained in seawater waste, the leaching yields of Ag from AgX (Ag-impregnated concentration : about 30~35 wt%) was less than those in distilled water (< 1 mg/L). AgX-I adsorption was above 99% in the initial iodide concentration ( $C_i$ ) of 0.01~10 mg/L at m/V (ratio of weight of adsorbent to solution volume)=2.5 g/L. This shows that efficient removal of I is possible. AgX-I adsorption was found to be more effective in distilled water than in seawater waste, and the influence of solution temperature was insignificant. Ag-I adsorption was better described by a Freundlich isotherm rather than a Langmuir isotherm. AgX-I adsorption kinetics can be expressed by a pseudo-second order rate equation. The adsorption rate constants ( $k_2$ ) decreased by increasing  $C_i$ , and conversely increased by increasing the ratio of m/V and the solution temperature. This time, the activation energy of AgX-I adsorption was about 6.3 kJ/mol. This suggests that AgX-I adsorption is dominated by physical adsorption with weaker bonds. The evaluation of thermodynamic parameters (a negative Gibbs free energy and a positive Enthalpy) indicates that AgX-I adsorption is a spontaneous reaction (forward reaction), and an endothermic reaction indicating that higher temperatures are favored.

Keywords: Iodide, Adsorption/Removal, Ag-impregnated zeolite, Isotherm, Kinetics, Thermodynamic parameters, High-radioactive seawater waste

\* Corresponding Author.

Eil-Hee Lee, Korea Atomic Energy Research Institute, E-mail: [nehlee@kaeri.re.kr](mailto:nehlee@kaeri.re.kr), Tel: +82-42-868-4780

### ORCID

Eil-Hee Lee <http://orcid.org/0000-0001-5094-8615>  
Kwang-Wook Kim <http://orcid.org/0000-0001-8486-2756>  
Ik-Soo Kim <http://orcid.org/0000-0002-2249-8933>  
Jei-Kwon Moon <http://orcid.org/0000-0003-2198-9295>

Keun-Young Lee <http://orcid.org/0000-0001-7144-9014>  
Hyung-Ju Kim <http://orcid.org/0000-0001-5185-2615>  
Dong-Yong Chung <http://orcid.org/0000-0003-1680-935X>  
Jong-Won Choi <http://orcid.org/0000-0003-2169-5991>

This is an Open-Access article distributed under the terms of the Creative Commons Attribution Non-Commercial License (<http://creativecommons.org/licenses/by-nc/3.0>) which permits unrestricted non-commercial use, distribution, and reproduction in any medium, provided the original work is properly cited

본 연구는 AgX (Ag-함침 X zeolite)에 의해 고방사성해수폐액 (HSW)의 발생초기에 함유되어 있는 고방사성 요오드( $^{131}\text{I}$ )의 흡착, 제거를 목표로 수행하였다. AgX에 의한 I의 흡착 (AgX-I 흡착)은 AgX 내 Ag-함침농도가 증가할수록 증가하며, 함침농도 30wt% 정도가 적당하였다. AgX (Ag-함침 약 30~35wt%)로부터 Ag의 침출농도는 해수폐액에 함유되어 있는 chloride 이온에 의한 AgCl 침전 등으로 증류수보다 덜 침출 ( $< 1 \text{ mg/L}$ ) 되었다. AgX-I 흡착은 초기 I 농도 0.01~10 mg/L의 경우 m/V (흡착제량/용액부피의 비)=2.5 g/L에서 99% 이상 흡착제거 되어 I의 효율적 제거가 가능함을 알 수 있다. AgX-I 흡착제거는 해수폐액 보다는 증류수에서 수행하는 것이 효과적이고, 온도의 영향은 미미한 것 같으며, 흡착평형등온선은 Langmuir 보다는 Freundlich 등온선으로 표현하는 것이 양호하였다. 한편 AgX-I 흡착속도는 유사 2차 속도식을 만족하고 있으며, 속도상수 ( $k_2$ )는  $C_1$  증가에 따라 감소하고 있지만, m/V 비 및 온도 증가에 따라서는 증가하고 있다. 이때 흡착 활성화에너지는 약 6.3 kJ/mol 로 AgX-I 흡착은 약한 결합형태의 물리적흡착이 지배적인 것으로 보인다. 그리고 열역학적 매개변수를 평가 (음수 값의 Gibbs 자유에너지 및 양수 값의 엔탈피)에 의해 AgX-I 흡착이 자발반응(정반응)의 흡열반응이며, 고온에서 반응이 양호함을 나타내었다.

중심단어: 요오드, 흡착/제거, Ag-함침 제올라이트, 흡착 평형등온선, 흡착속도, 열역학적 매개변수, 고방사성해수폐액

## 1. 서론

고방사성해수폐액 (High-radioactive Seawater Waste, HSW)은 일본 후쿠시마 원전사고와 같이 비정상 중대사고 시 원자로 냉각계통의 고장으로 해수를 원자로냉각수로 다량 주입하여 발생한 것으로 [1-10], 원자로의 정상 조업상태에서는 전혀 발생되지 않아 HSW를 대상으로 한 처리연구는 거의 수행되지 않은 상태이다.

HSW 내 함유되어 있는 고방사성핵종으로는 주로  $^{134}\text{Cs}$  (반감기=약 2.06년, 비방사능= $4.79 \times 10^{13} \text{ Bq/g}$ ),  $^{137}\text{Cs}$  (약 30년,  $3.22 \times 10^{15} \text{ Bq/g}$ ) 및  $^{131}\text{I}$  (약 8일,  $4.81 \times 10^{15} \text{ Bq/g}$ ) 등이 있으며 [1-4], 이중  $^{131}\text{I}$ 은 Cs 보다 비록 존재량도 적고, 반감기도 매우 짧아 수개월 정도의 방치로 방사능이 대부분 감쇄한다. 실제 일본의 경우 사고 약 8개월이 경과된 후에  $^{131}\text{I}$ 의 방사능세기는 초기  $10^6 \sim 10^7 \text{ Bq/mL}$ 에서  $\sim 10^3 \text{ Bq/mL}$  정도로 대폭 감소하였으나 [1,2], HSW의 발생 초기에는 Cs 보다 비방사능 (specific radioactivity, Bq/g)이 큰 고방사성핵종이다. 그러므로 고방사성핵종에 의한 환경오염 확산방지나 또는 요오드 (I)가 인체에 흡수성이 높기 때문에 작업자 보호차원에서 이의 제거가 필요하다. 또한 HSW의 초기 발생량을 대폭 감용시키기 위해서는 신속하게 HSW 내 함유된 고방사성핵종을 제거한 후 원자로냉각수로 재순환하여, 냉각수로 해수유입을 방지하여야 하는데 이를 위해서도 I의 제거가 필요하다.

원자로 내 장전된 조사핵연료 (irradiated nuclear fuel)에서 I의 존재량은 핵연료의 조사시간, 연소도 및 핵연료 형태 등에 좌우된다. 그러나 HSW 내 I의 함유량은 조사핵연료 내 존재하고 있는 I의 존재량 중 냉각수에 의해 용해되는 정도에 의해 결정되며, 이는 비정상 중대사고 시 핵연료피복관의 파손 정도, 용해 접촉시간, 용해온도 및 용해매질 등에 영향을 받고 있다. 일본 경우 HSW 발생 초기에  $^{131}\text{I}$ 의 함유량은  $10^{-4} \sim 10^{-2} \text{ mg/L}$  정도였다 [1,2,6]. 그리고 HSW 내 I의 화학적 형태는 조사핵연료피복관의 건진성이 유지되면 열역학적으로 안정한 CsI (친수성으로 저온/고온 전 영역에서 높은 용해도 : 약 765 g/L) 형태로,  $800^\circ\text{C}$  이상의 고온에서 피복관이 손상될 경우는 휘발성의  $\text{I}_2$ 로 존재한다 [11-15]. 그러나 CsI 및  $\text{I}_2$  모두 냉각수와 접촉할 경우 요오드이온 (iodide ion)으로 용해되어 [14,15], HSW에서 요오드는 주로  $\text{I}^-$ 로 존재할 것으로 보인다.

지금까지 I의 분리제거는 유기 음이온교환수지에 의한 이온교환법 (음이온 교환수지가 대부분 유기소재로 고방사성폐액 적용이 제한적임), Ag-함침 활성탄/제올라이트/clay/활성알루미나 등에 의한 흡착법 및 AgI (용해도: 약  $3 \times 10^{-3} \text{ mg/L}$ ) 침전법 등이 있으나 [16-24], 상기 법 모두가 질산용액이나 염기성 용액 또는 증류수 등에서 수행한 결과로서 HSW에서의 연구는 거의 없는 상태이다. 현재 일본에서의 I 처리는 우선 Cs를 흡착제거한 후 역삼투 (reverse osmosis) 과정을 거친

담수화된 용액을 대상으로 ALPS (Advanced Liquid Processing System) 공정에서 Ag-함침 활성탄 (Ag-impregnated active carbon)에 의해 수행되고 있으며 [3-6], 이외에도 Cs를 흡착제거한 해수용액을 대상으로 Ag-함침 chabazite type의 제올라이트 (Ag-impregnated Herschelite)에 의한 흡착제거도 수행하였다 [1,2,6].

본 연구는 HSW의 초기 발생량 감소 및 작업자 보호차원에서 HSW의 발생 초기에 함유되어 있는 고방사성핵종의 하나인 요오드 ( $^{131}\text{I}$ )를 HSW로부터 흡착 제거하는 기술개발을 목표로 수행하였다. 우선 Ag-함침 X zeolite (Ag-impregnated X zeolite, 이후 AgX로 표기)를 제조하여 Ag-함침농도에 따른 I의 흡착능과 AgX로부터 Ag의 침출률 등을 검토한다. 그런 다음 AgX에 의한 I의 흡착 (이후 AgX-I 흡착으로 표기) 특성을 초기 I 농도, 용액의 온도, m/V 비 (ratio of absorbent weight to solution volume, g/L) 및 증류수/해수 등에 따라 규명하고, 마지막으로 AgX-I 흡착평형등온선, 흡착속도 및 관련 열역학적 매개변수 등을 평가하여 HSW로부터 I를 흡착 제거할 수 있는 기술 확보 및 이의 최적조건 등을 결정한다.

## 2. 실험

### 2.1 모의 고방사성해수폐액

모의 고방사성해수폐액 (Simulated High-radioactive Seawater Waste: SHSW)은 부산부근에서 가져온 해수에 산업용 특급시약인 NaI를 첨가하여 제조하였으며, 이의 성분 및 조성은 Table 1과 같다. HSW의 경우  $^{131}\text{I}$ 의 함유량은 약 0.01 mg/L 이하로 매우 적으나 [1-6], 본 연구에서는 시료 분석 및 이들의 거동을 보다 용이하게 보기 위하여 과량 (10, 50, 100 mg/L) 첨가하여 수행하였으며, HSW 내 실제 I 농도 수준에서의 적용성을 보기 위하여 0.01 mg/L의 I가 함유된 SHSW에 추적자규모의 방사성동위원소 ( $^{131}\text{I}$ )를 첨가하여 수행하였다.

### 2.2 흡착제

본 연구에서 사용한 AgX는 모두 시약급 (Aldrich, 20~24 mesh,

Table 1. Components and composition of SHSW

Element	Concentration, (mg/L)
$\text{Ca}^{+2}$	420
$\text{K}^{+}$	424
$\text{Mg}^{+2}$	1,200
$\text{Na}^{+}$	10,675
$\text{Br}^{-}$	73
$\text{Cl}^{-}$	19,700
$\text{SO}_4^{-2}$	2,610
$\text{I}^{-}$	(10, 50, 100)

Ag-함침 : 약 30~35wt%)으로 추가의 정제과정 없이 준비하였다. 그러나 Ag-함침량에 따른 영향을 고찰하기 위한 AgX의 경우는  $\text{AgNO}_3$  용액에 13X zeolite (Aldrich, 2~3  $\mu\text{m}$ )를  $m_{13X}/V_{\text{AgNO}_3}$  (13X zeolite weight/ $\text{AgNO}_3$  solution volume) = 50 g/L로 첨가하여 300 rpm으로 1시간 교반하여 제조하였으며, 표면에 부착되어있는 Ag 이온 등을 제거하기 위하여 증류수로 여러 번 5회 세척하고, 건조 (105°C, 36시간)한 다음 체분석 (sieve analysis)하여 준비하였다. 반면에 AgX와의 성능비교를 위하여 제조한 Ag-AAC (Ag-impregnated Acidic Activated Carbon)는 고도 정수용 야자각 입상 활성탄을 구입하여 세척/건조한 후 강질산 (6 M  $\text{HNO}_3$ )으로 처리하여 우선 AAC를 제조한 다음, 그리고 Ag-BAA (Ag-impregnated Basic Activated Alumina)는 시약급의 염기성처리 활성알루미나 (Aldrich, BAA)를 구입하여, 각각 이를  $\text{AgNO}_3$  용액과 접촉한 후 증류수로 약 10회 세척하고 건조 (105°C, 24시간)하여 준비하였다. 상기 Ag-함침 흡착제는 모두 향온 항습기 (Dry keeper, Sanlpa Tec. Corp.)에 은박지로 포장하여 보관하고 사용하였다.

### 2.3 실험 방법

모든 실험은  $25 \pm 1^\circ\text{C}$ , 400 rpm으로 은박지로 포장한 beaker에서 회분식으로 수행하였다. 흡착제인 AgX를 각각 실험조건에 맞추어 화학저울 (Chemical balance, Precisa XT320M, Precisa Instruments Ltd.)로 정확하게 칭량하여

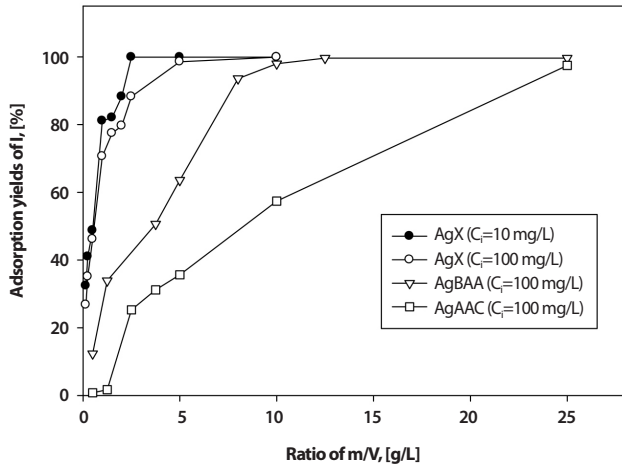


Fig. 1. Effect of m/V ratio on adsorption yields of I in various Ag-impregnated adsorbents at 25°C and 400 rpm (Ci=10 and 100 mg/L).

미리 준비한 SHSW 20 mL에 첨가한다. 그리고 온도, 교반속도 및 시간 등의 조절이 가능한 다중교반기 (Multi hot-plate stirrer, Barnstead/thermolyne, Super Nuova Multi- place) 를 이용하여 교반한다. 한편 추적자규모 (tracer,  $1.18 \times 10^4$  Bq/mL)의 방사성동위원소 ( $^{131}\text{I}$ )를 사용한 실험은 비방사성 실험과 동일한 방법으로 각각 SHSW 5 mL에 동위원소 50  $\mu\text{l}$  를 첨가하여 수행하였다. 이때  $^{131}\text{I}$ 는 당 연구소 “하나로”에서 생산 ( $^{130}\text{TeO}_2 + n \rightarrow ^{131}\text{I}$ ) 한 것으로 화학적 형태는 6 M NaOH 용액에 NaI로 (순도 : >99%) 1 mCi 구입하여, 이를 추적자규모 농도로 희석하여 사용하였다. 그런 다음 원심분리기 (MF80, 3,000 rpm, Hanil Science Industrial)로 고-액 분리하여 상등액 (supernatant) 내 존재하는 금속이온의 농도 (또는 방사능)를 분석하여 측정하였다.

## 2.4 분석

초기 SHSW 및 상등액에 함유되어 있는 Ca, Mg, Sr은 ICP-AES (Inductive Coupled Plasma Atomic Emission Spectroscopy, ISA Jobin-Yvon JY 50P and JY 38 Plus), K, Na, Cs는 AAS (Atomic Absorption Spectrophotometer, Prekin- Elmer, PinAAcle 900F)로, 기타 I, Cl,  $\text{SO}_4^{2-}$ , Br 등은 IC (Ion Chromatography, DIONEX, ICS-900)로 각각의 농도를 분석하였다. 그리고 AgX 내 함유된 Ag 량은 SEM (Scanning Electron Microscope, SNE 4000M, SEC Co.)/EDX

(Energy Dispersive X-ray spectroscopy, XFlash detector 410M, Bruker AXS Co.)를 사용하여, 그리고 AgX의 구조는 XRD (X-ray Diffraction, Bruker, XRD D2 Phaser)로 각각 측정하였다. 한편  $^{131}\text{I}$ 은 MCA (MultiChannel Analyzer, OXFORD TC702, HPGe detector)로 방사능을 측정하여 농도를 분석하였으며, 용액의 pH는 pH meter (ORION 820A+, Thermo Electronic Corporation)을 이용하여 그리고 흡착제의 입자크기는 체 분석법으로 각각 수행하였다. 각 원소의 흡착율 (Adsorption yield, A), 흡착용량 (q) 및 분배계수 ( $K_d$ )는 각각 다음 식에 의해서 계산하였으며

$$A(\%) = \frac{(C_i - C_f)}{C_i} \times 100 \quad (1)$$

$$q(\text{mg/L}) = \frac{V}{m} (C_i - C_f) \quad (2)$$

$$K_d(\text{mg/g}) = \frac{V}{m} \frac{(C_i - C_f)}{C_f} \quad (3)$$

여기서  $C_i$  및  $C_f$ 는 각각 초기 SHSW 및 상등액에 존재하고 있는 각 금속이온의 농도 (mg/L) 또는 방사능의 세기 (counter)를 의미하며, V 및 m는 SHSW의 부피 (mL) 및 흡착제의 량 (g)를 나타낸다.

## 3. 결과 및 토의

### 3.1 AgX zeolite에 의한 요오드(I)의 흡착특성

AgX-I 흡착 및 AgX에서 Ag의 침출시험은 모두 25°C, 400 rpm에서 흡착은 6시간 동안, 침출은 4시간 동안 교반하여 수행하였다. Fig. 1은 각각 AgX (Aldrich 시약), Ag-AAC (270~400 mesh, Ag-함침 : 30~35wt%) 및 Ag-BAA (325~400 mesh, Ag-함침 : 5~10wt%)에 의한 m/V 비 변화에 따른 I의 흡착율이다. 상기 흡착제 모두 m/V 비가 증가할수록 흡착제 량이 증가하여 흡착율이 증가하고 있으며, I의 흡착능은 각각 입자크기 및 Ag-함침율은 다소 다르지만 AgX > Ag-BAA > Ag-ACC 순으로 보인다. 초기 I 농도 ( $C_i$ ) 100 mg/L의 경우 AgX는 m/V=5 g/L에서, Ag-BAA는 m/V > 10 g/L에서, Ag-ACC는 m/V > 25 g/L에서 각각 99% 이상 ( $K_d > 10^4$ )의 I의 제거가 가능하였으며, 2차 방사성고체폐기물의 발생량

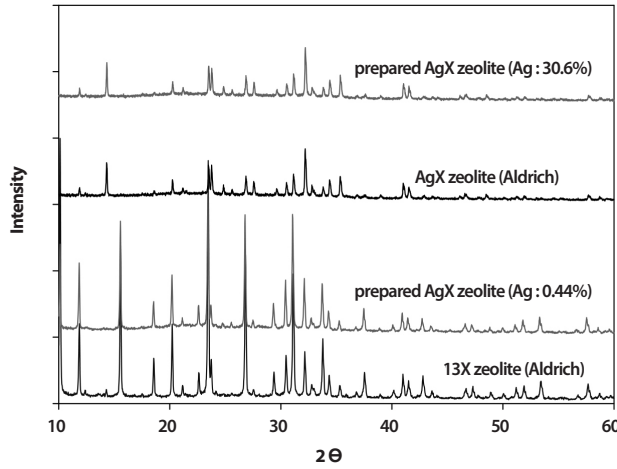


Fig. 2. XRD patterns of 13X zeolite and various AgX zeolites.

최소화 관점에서 AgX가 매우 효과적인 흡착제임을 알 수 있다. 또한 동일 m/V 비 (흡착제량이 같아 흡착 site가 동일)에서 AgX-I 흡착은  $C_i$ 가 낮은 경우 높은 경우 보다 흡착 site가 보다 풍부해져 흡착능이 증가하고 있음을 보여 주고 있다.

Fig. 2는 AgX 내 Ag-함침농도 (wt%)의 영향을 보기에 앞서 본 연구에서 제조한 AgX와 Aldrich에서 구입한 AgX의 XRD data를 비교한 것으로 Ag-함침농도 0.44wt%에서는 Ag의 함침량이 적어 13X와 거의 유사한 형태를 보이지만 Ag-함침농도 30.6wt%에서는 Aldrich AgX (PDF 84-0581, Silver Aluminum silicate,  $Ag_{63}Al_{63}Si_{128.3}O_{384}$ )와 동일한 형태를 보이고 있다. Fig. 3은 본 연구에서 제조한 AgX 내 Ag-함침농도 및 m/V 비 변화에 따른 I의 흡착율이다. Ag-함침농도 약 30wt%까지는 농도 증가에 따라 증가하고 있으며, 그 이상에서는 미미하지만 다소 감소하는 경향을 보이고 있다. 이런 현상은 I를 흡착하기 위해서는 어느 정도의 Ag-함침이 필요하나, Ag가 너무 과량 함침될 경우는 오히려 함침-Ag가 AgX의 세공 (pore)을 막거나, 또는 흡착표면적을 감소시켜 흡착능을 감소시키는 것으로 보인다. 그러므로 Ag-함침은 약 30wt% 정도가 효과적인 것으로 보인다. 그리고 m/V 비가 증가할수록 (흡착제 량이 증가) 그리고  $C_i$ 가 낮을수록 흡착능이 증가하고 있으며, Ag-함침 30wt%의 경우  $C_i=10$  mg/L에서는 m/V=1 g/L으로,  $C_i=100$  mg/L에서는 m/V=5 g/L으로 각각 99% 이상의 I를 흡착 제거할 수 있다. 이때 용액 내 pH 변화는  $C_i=10$  mg/L에서는 m/V 증가에 따라 각각

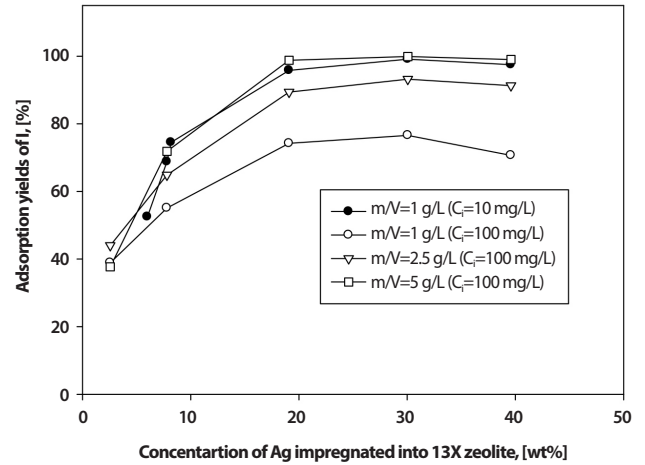


Fig. 3. Effect of concentration of Ag impregnated into 13X zeolite on adsorption yields of I in various ratios of m/V at  $C_i=10$  and 100 mg/L.

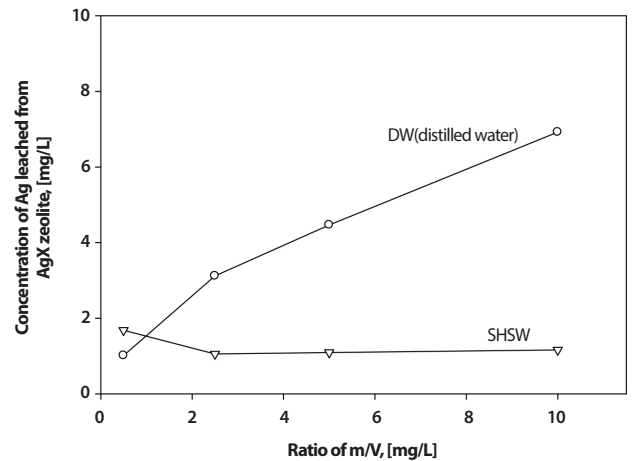


Fig. 4. Concentration of Ag leached from AgX zeolite with ratio of m/V in DW (distilled water) and SHSW.

pH 7.88~8.15,  $C_i=100$  mg/L 경우는 pH 8.12~8.24 이었다.

Fig. 4는 증류수 및 SHSW에서 AgX (시약)의 m/V 비 변화에 따라 침출된 Ag의 농도이다. 증류수의 경우 m/V 비 증가에 따라 Ag의 침출농도가 다소 증가하지만 거의 7 mg/L (m/V=10 g/L) 이하이고, SHSW (chloride ion 함유)에서는 거의 1 mg/L 이하였다. 이와 같이 SHSW에서 Ag의 침출량이 적은 것은 침출된 Ag가 SHSW 내  $Cl^-$  (약 19,700 mg/L ( $\approx 0.56$  M) 함유)와  $Ag^+ + Cl^- \rightleftharpoons AgCl$  (용해도: 1.9 mg/L)로 침전된 데 기인하는 것 같다[13,14,24,25]. 그리고 Fig. 5는 chloride 이온이 없는 고염 분위기에서 침출되는 Ag의 량을



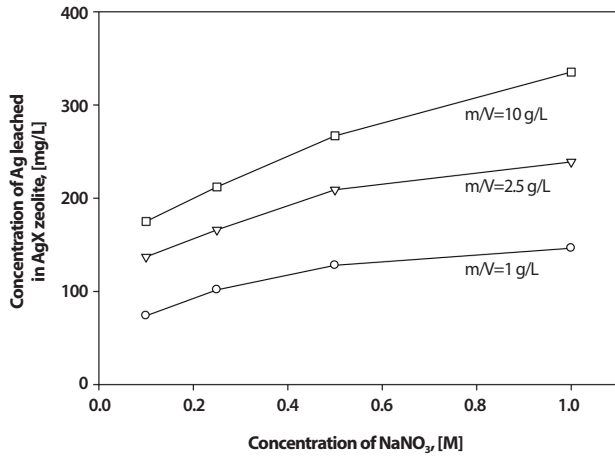


Fig. 5. Concentration of Ag leached from AgX zeolite with concentration of NaNO<sub>3</sub> with various m/V ratios.

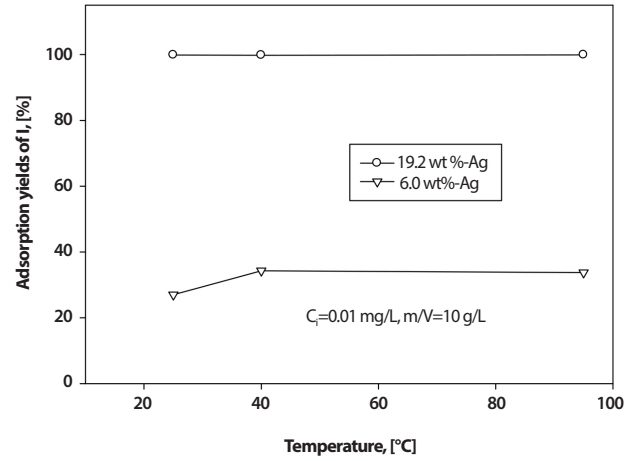


Fig. 7. Effect of solution temperature on adsorption yields of I at C<sub>i</sub>=0.01 mg/L and m/V=10 g/L.

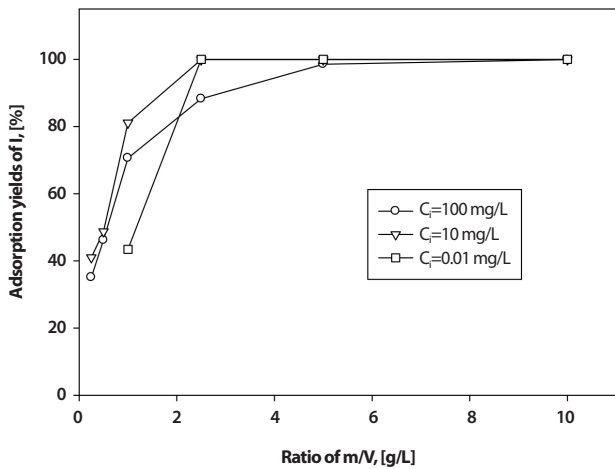


Fig. 6. Effect of m/V ratio on adsorption yields of I in various initial concentration of I.

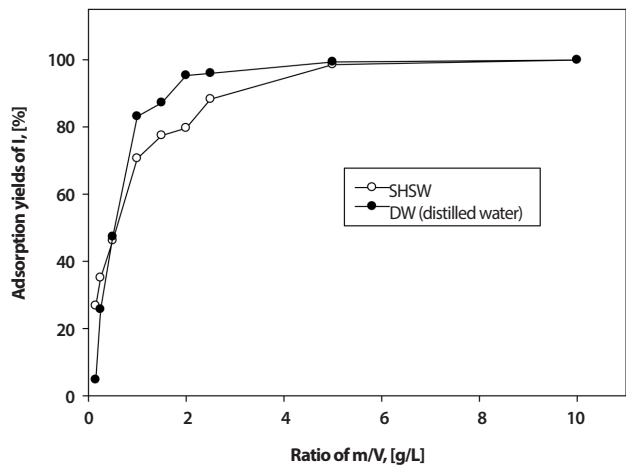


Fig. 8. Effect of m/V ratio on adsorption yields of I in DW and SHSW at C<sub>i</sub>=100 mg/L.

검토한 것으로, 염 (NaNO<sub>3</sub>) 농도 및 m/V 비 증가에 따라 Ag의 침출량이 증가하고 있음을 알 수 있다. 이로부터 HSW를 대상으로 AgX 흡착탑 (연속식)에 의해 I를 흡착제거할 경우 실제 HSW 내 Na의 농도가 약 0.5 M 정도이므로 상당량의 Ag가 침출될 것이며, 이는 AgI (용해도: 약  $3 \times 10^{-3}$  mg/L)나 AgCl로 침전되고 [13,14,24,25], 이 침전물로 인해 흡착탑 내 막힘 현상 등을 유발하여 흡착탑 조작 및 운전을 불가능하게 할 수도 있어 이에 대한 검토가 요구된다.

Fig. 6은 초기 I 농도 (C<sub>i</sub>) 및 m/V 비 변화에 따른 AgX-I의

흡착율로, 이때 용액 내 pH 변화는 8.15~8.26으로 거의 변화가 미미하였다. m/V 비가 증가할수록 흡착제량이 증가하며 C<sub>i</sub>=10 mg/L의 경우 m/V > 5 g/L에서, C<sub>i</sub>=0.01 mg/L의 경우는 m/V > 2.5 g/L에서 99% 이상의 I가 흡착되었다 (K<sub>d</sub> > 10<sup>4</sup>). 이로부터 AgX에 의해 I를 효과적으로 제거할 수 있음을 알 수 있다. 여기서 C<sub>i</sub>=0.01 mg/L까지 농도를 낮춘 것은 실제 일본 후쿠시마 원전사고 발생초기 HSW 내 C<sub>i</sub>가 최대 ~10<sup>-2</sup> mg/L까지 나타나 선정된 것이며 [1,2,6], 추적자규모 방사성동위원소 <sup>131</sup>I을 이용하여 수행하였다. 그리고 동일

m/V 비에서  $C_i$ 가 낮은 경우 흡착 site가 보다 풍부해져 흡착능이 증가되어야 함에도 불구하고  $C_i=0.01$  mg/L의 경우 m/V=1 g/L에서 약 44% 흡착되었는데 이는 예상하지 못한 결과로 본 연구에서는 이에 대한 원인은 규명하지 못했다. Fig. 7은  $C_i=0.01$  mg/L 및 m/V=10 g/L에서 온도 및 Ag-함침량 변화에 따른 I의 흡착율이다. Ag-함침 19.2wt%의 AgX에서는 함침농도와 m/V 비가 높아 거의 99% 이상이 흡착되고 있는데 반하여, 6.0wt%의 AgX에서는 온도 증가에 따라 다소 증가하여 28~35% 정도가 흡착되지만 전반적으로 AgX-I 흡착에 미치는 온도의 영향은 미미한 것 같다.

Fig. 8은 증류수 및 SHSW에서 m/V 비 변화에 따른 AgX-I의 흡착율이다. 이때 용액 내 pH 변화는 m/V 증가에 따라 증류수는 pH 7.56~8.97이고, SHSW는 pH 8.15~8.26이었다. I의 흡착은 증류수 및 SHSW 모두 m/V 비 증가에 따라 증가하고 있으며, 증류수에서는 m/V > 2.5 g/L에서 97~99% 정도 ( $K_d=7\sim9 \times 10^3$ )가 흡착되는 데 반하여 SHSW는 m/V=5 g/L에서 99% 이상 ( $K_d > 10^4$ ) 흡착되었다. 이로부터 AgX-I 흡착은 고염의 HSW보다는 증류수에서 수행하는 것이 2차 방사성고체폐기물(폐흡착제)의 발생량 감소 측면에서 보다 효율적임을 알 수 있다.

### 3.2 평형흡착등온선

Fig. 9는 AgX-I 흡착에서 Langmuir 및 Freundlich 등온선[21, 25-28]으로부터 얻어진 계산 값과 실험값을 비교한 것으로, 각 등온선은 다음과 같다.

$$\text{Langmuir : } \frac{1}{q_e} = \frac{1}{q_{\max}} + \left( \frac{1}{k_L q_{\max}} \right) \left( \frac{1}{C_e} \right)$$

$$\rightarrow q_e = \frac{49.51 \times 0.586 C_e}{(1 + 0.586 C_e)} \quad (r^2 = 0.72) \quad (4)$$

$$\text{Freundlich : } \log q_e = \log k_f + \frac{1}{n} \log C_e$$

$$\rightarrow q_e = 16.671 \times C_e^{1/2.894} \quad (r^2 = 0.92) \quad (5)$$

여기서  $C_e$ ,  $q_e$  및  $q_{\max}$ 는 각각 평형농도 (mg/L), 평형흡착용량 (mg/g) 및 최대흡착용량 (mg/g)을,  $k_f$ ,  $k_L$  및  $1/n$ 은

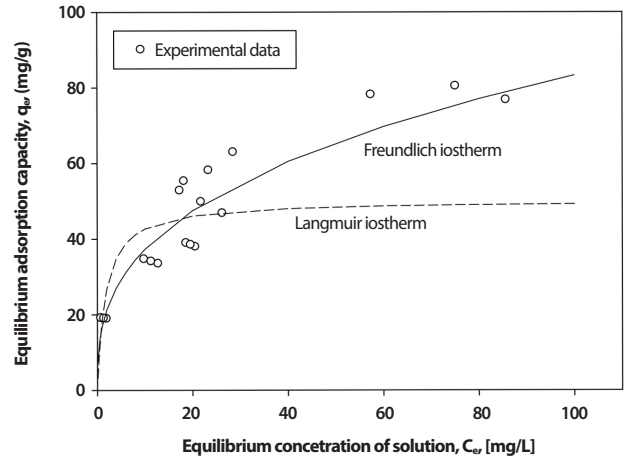


Fig. 9. Comparison of experimental data and calculated values obtained from Freundlich isotherm and Langmuir isotherm in AgX-I adsorption system.

각각 Freundlich 상수 (mg/g), Langmuir 상수 (L/mg) 및 흡착강도를 나타내는 상수이고,  $r^2$ 은 상관계수 (correlation coefficient)를 의미한다. AgX-I 흡착등온식은 Langmuir 보다는 실험적 결과를 근간으로 얻어진 반경험식 형태의 Freundlich 등온식으로 나타내는 것이 좋을 것으로 보인다. 이로부터 I은 불균일한 AgX 표면에 다층흡착 (multilayer adsorption) 되었다고 사료된다.

### 3.3 흡착 속도

흡착속도 식은 여러 가지가 발표되고 있으나 [27-33], 본 연구에서는 다음과 같은 유사 (pseudo) 2차 속도식  $dq_t/dt = k_2(q_e - q_t)^2$ 으로 AgX-I 계에서의 흡착속도를 평가하였다. 상기 식에 경계조건  $t=0, q=0$  및  $t=t, q=q_e$ 를 적용하면

$$\frac{t}{q_t} = \left( \frac{1}{q_e} \right) t + \left( \frac{1}{k_2 q_e^2} \right) \quad (6)$$

이고, 여기서  $q_e$ 는 평형흡착용량 (mg/g),  $q_t$ 는 시간  $t$ 에서의 흡착용량 (mg/g),  $k_2$ 은 속도상수 (g/(mg·min))를 각각 의미한다. 이때  $q_e$ 와  $k_2$ 는 각각 식(6)의  $t/q_t$ 와  $t$ 의 상관식의 기울기 및 절편으로부터 구해진다.

Fig. 10, Fig. 11 및 Fig. 12는 각각  $C_i$ , m/V 비 및 온도에 따른 영향으로, 유사 2차 속도식으로부터 구한 I의 평형흡착용량 ( $q_e$ ), 흡착속도상수 ( $k_2$ ) 그리고 흡착시간 변화에 따른

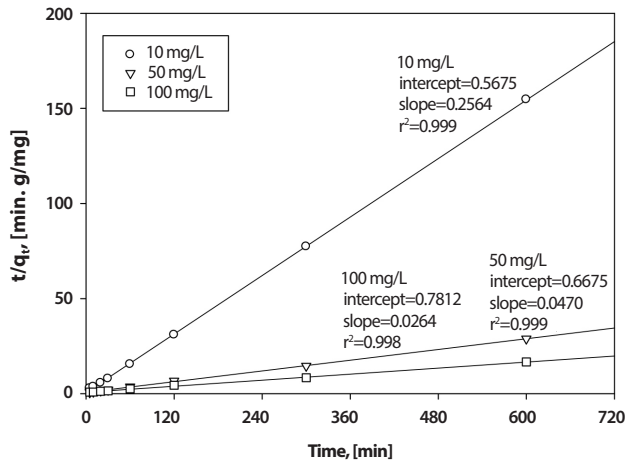


Fig. 10. Pseudo-second order kinetics of AgX-I adsorption with initial concentration of I at 25°C, 400 rpm and m/V=2.5 g/L.

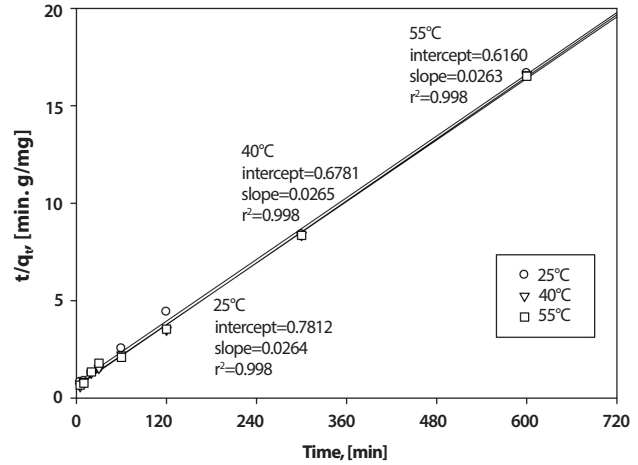


Fig. 12. Pseudo-second order kinetics of AgX-I adsorption with temperature of solution at 400 rpm, m/V=2.5 g/L and C<sub>i</sub>=100 mg/L.

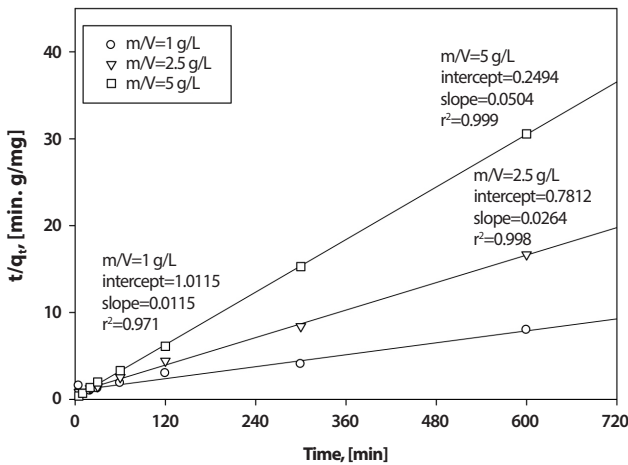


Fig. 11. Pseudo-second order kinetics of AgX-I adsorption with ratio of m/V at 25°C, 400 rpm and C<sub>i</sub>=100 mg/L.

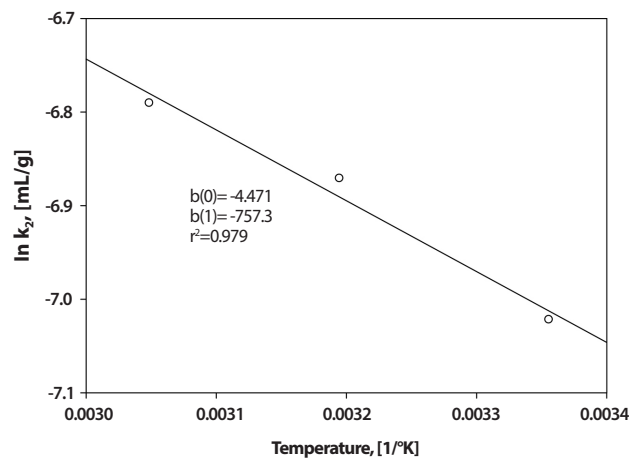


Fig. 13. Arrhenius plot of AgX-I adsorption at 400 rpm, m/V=2.5 g/L and C<sub>i</sub>=100 mg/L.

용액의 pH 변화를 Table 2에 나타내었다.

속도상수 ( $k_2$ )는  $C_i$  증가에 따라 급격히 감소하고 있지만, 온도 및 m/V 비 증가에 따라서는 증가하고 있다. 그러나 평형흡착용량 ( $q_e$ )은  $C_i$  증가에 따라서는 증가하지만 m/V 비 증가에는 감소하고, 온도에는 별 영향이 없었다.

Table 3은 AgX-I 흡착 계의 속도지배단계를 보기 위하여 다음과 같은 입자내 확산 (intra-particle diffusion) 식으로부터 [26-28,31] 얻어진 온도변화에 따른 입자내 확산 속도상수 (rate constant)이다.

$$q_t = k_i t^{1/2} + C \quad (7)$$

여기서  $k_i$ 는 입자내 확산속도상수 ( $\text{mg}/(\text{g} \cdot \text{min}^{1/2})$ )이고 C는 상수 ( $\text{mg}/\text{L}$ )로, 각각 식 (7)의  $q_t$ 와  $t^{1/2}$ 과의 상관식의 기울기 및 절편으로부터 얻어진다.

온도가 증가할수록  $k_i$ 가 증가하고 있는데 이는 온도증가에 따라 I의 운동이 보다 활발해지고, 세공확산 (pore diffusion)이 촉진되었기 때문으로 보인다 [27]. 반면에 C는 경계층 (boundary layer)의 두께와 관련이 있으며, 이는 흡착제의



Table 2. Equilibrium adsorption capacity and rate constant of iodide ion by the pseudo-second order reaction

		$q_e^*$ (mg/g)	$q_e^{**}$ (mg/g)	$k_2$ (g/(mg. min))	Change of solution pH
Initial concentration ( $C_i$ , mg/L)	10	3.88	3.90	$1.16 \times 10^{-1}$	8.14~8.15
	50	20.86	21.26	$3.31 \times 10^{-3}$	8.12~8.23
	100	37.09	37.88	$8.92 \times 10^{-4}$	8.18~8.24
Ratio of m/V (g/L)	1	85.28	87.22	$1.31 \times 10^{-4}$	8.12~8.15
	2.5	37.09	37.88	$8.92 \times 10^{-4}$	8.18~8.24
	5	19.73	19.83	$1.02 \times 10^{-2}$	8.19~8.28
Temperature (°C)	25	37.09	37.88	$8.92 \times 10^{-4}$	8.18~8.24
	40	37.01	37.71	$1.04 \times 10^{-3}$	8.29~8.26
	55	37.37	37.99	$1.12 \times 10^{-3}$	8.43~8.26

\* Equilibrium adsorption capacity obtained from experimental data

\*\* Equilibrium adsorption capacity obtained from pseudo 2<sup>nd</sup> order equation

표면적, 입자크기 및 모양, 밀도, 용액의 농도, 교반속도 등에 영향을 받는 것으로 알려져 있고, C=0인 경우는 입자내 확산이 유효단계 (rate controlling step) 이지만, C≠0인 경우는 상당부분 boundary layer control을 나타내는 것으로 [27]. 온도 증가에 따라 C가 감소하는 것으로 보아 경계층의 영향이 작아짐을 알 수 있다.

한편 AgX-I 흡착 활성화에너지 (activation energy,  $E_a$ )는 온도와  $k_2$ 와의 관계를 나타내는 Arrhenius 식으로부터 [32-33],

$$\ln k_2 = \ln k_A - \left( \frac{E_a}{RT} \right) \quad (8)$$

이때  $k_A$ 와  $E_a$ 는 각각 Fig. 13의  $\ln k_2$ 와  $1/T$ 의 상관식 ( $r^2 \approx 0.99$ )의 기울기 및 절편으로부터 구하며

$$k_2 = 1.143 \times 10^{-2} \exp\left(\frac{-6.30}{RT}\right) \quad (9)$$

여기서  $k_A$ 는 Arrhenius 상수 (g/(mg. min))이고,  $E_a$ 는 활성화에너지 (kJ/mol), T는 절대온도 (°K), R은 기체상수로 8.314 J/(°K mol)이다. 통상  $E_a$ 는 흡착제와 흡착물질 간의 결합 형태를 나타내는데, 20 kJ/mol (절대 값) 이하에서는 물리적 흡착이나 약한 결합 형태를, 40 kJ/mol 이상에서는 화학적 흡착이나 보다 강한 결합 형태를 나타낸다 [32-33]. 그러므로

Table 3. Intra-particle diffusion rate constants in AgX-I adsorption

	25°C	40°C	55°C
$k_i$ (mg/(g min <sup>1/2</sup> ))	2.299	3.029	3.606
C	4.328	2.162	1.784
$r^2$	0.901	0.992	0.971

Table 4. Calculated thermodynamic parameters of AgX-I adsorption

	$\Delta G^\circ$ (kJ/mol)			$\Delta H^\circ$ (kJ/mol)	$\Delta S^\circ$ (kJ/(mol. °K))
	25°C	40°C	55°C		
	-20.24	-21.36	-22.49	2.04	0.075

$E_a$ 의 값이 6.3 kJ/mol 정도인 것으로 보아 AgX-I의 흡착은 약한 결합 형태의 물리적 흡착이 지배적인 것으로 보인다.

Table 4는 AgX-I 흡착 계에서의 열역학적 매개변수인 Gibbs 자유에너지 ( $\Delta G^\circ$ ), 엔탈피 ( $\Delta H^\circ$ ) 및 엔트로피 ( $\Delta S^\circ$ ) 등으로, 희박용액의 흡착에서 일반적으로 표현하는 다음 식으로부터 얻었다 [26-28, 30].

$$\Delta G^\circ = -RT \ln K_d \quad (10)$$

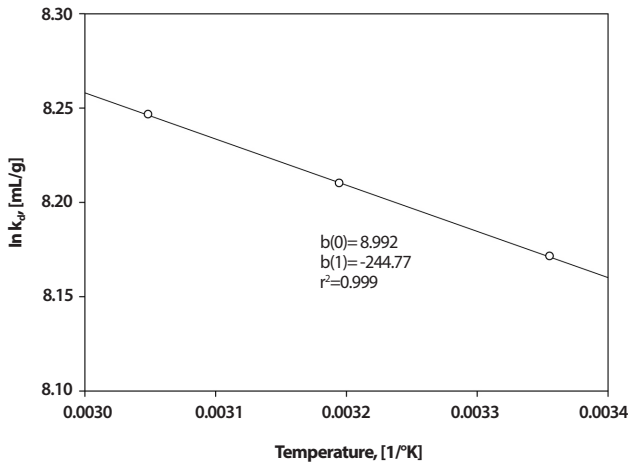


Fig. 14. Distribution coefficient ( $K_d$ ) of AgX-I adsorption with temperature of solution at 400 rpm,  $m/V=2.5$  g/L and  $C_i=100$  mg/L.

$$\Delta H^\circ = \Delta G^\circ + T \Delta S^\circ \quad (11)$$

$$\ln K_d = \frac{\Delta S^\circ}{R} - \frac{\Delta H^\circ}{RT} \quad (12)$$

여기서  $K_d$ 는 온도  $T$ 에서의 분배계수를 의미하고,  $\Delta H^\circ$ 와  $\Delta S^\circ$ 는 식 (12)의  $\ln K_d$ 와  $1/T$ 과의 상관식의 (Fig. 14) 기울기 및 절편으로부터 각각 얻어진다.

음수 값의 Gibbs 자유에너지 ( $\Delta G^\circ < 0$ )는 AgX-I의 흡착반응이 자발반응 (정반응)이며, 온도 증가에 따라서 차이는 크지 않지만 절대 값이 다소 큰 것은 고온에서 반응이 좀 더 양호하다는 것을 의미한다. 또한 양수 값의 엔탈피 ( $\Delta H^\circ > 0$ )는 AgX-I의 흡착반응이 흡열 (endothermic) 반응이며, 고온에서 반응이 다소 촉진됨을 나타낸다. 그리고 양수 값의 엔트로피는 AgX 흡착제와 iodide 이온 간 고-액 계면에서의 무질서도 (randomness)가 증가됨을 나타낸다.

#### 4. 결론

본 연구는 AgX (Ag-함침 13X zeolite)에 의해 고방사성 해수폐액 (HSW)의 발생 초기 고방사성핵종인 요오드 ( $^{131}\text{I}$ )의 흡착/제거를 목표로 수행하였다. 우선 I의 흡착 제거능은 Ag-함침 zeolite가 Ag-함침 활성탄이나 활성알루미나 보다 우수하며, AgX의 경우 Ag-함침농도 (wt%)가 증가할수록 증가하며,

함침 30wt% 정도가 효과적이었다. AgX (시약, Ag 함침: 30~35wt%)로부터 Ag 침출은 해수폐액의 경우 함유 chloride 이온에 의한 AgCl 침전 등으로 증류수보다 덜 침출되나 (1 mg/L 이하), 연속식 흡착탑 조업의 경우 이 침전물 등에 의한 막힘 현상 등이 유발될 수 있어 이에 대한 검토가 요구된다. AgX-I 흡착은 초기 I 농도 ( $C_i$ )=0.01~10 mg/L 경우  $m/V=2.5$  g/L에서 99% 이상 흡착되어 I의 효율적 제거 및 2차 방사성폐기물 (폐흡착제)의 발생량을 최소화 할 수 있음을 알 수 있다. 또한 AgX-I 흡착은 해수폐액보다는 증류수에서 수행하는 것에 효과적이며, 온도의 영향은 미미한 것 같다. 그리고 AgX-I의 평형흡착등온선은 Langmuir 보다는 Freundlich 등온선으로 표현하는 것이 양호하다. 한편 AgX-I 흡착속도는 유사 2차 속도식을 만족하고 있으며, 속도상수 ( $k_2$ )는  $C_i$  증가에 따라 감소하고 있지만, 온도 및  $m/V$  비 증가에 따라서는 증가하고 있다. 그러나 평형흡착용량 ( $q_e$ )은  $C_i$  증가에 따라서는 증가하지만  $m/V$  비 증가에는 감소하고, 온도에는 별 영향이 없었다. Arrhenius 식으로부터 결정된 흡착 활성화에너지는 약 6.3 kJ/mol 로 AgX-I 흡착은 물리적 흡착이 지배적일 것으로 보인다. 그리고 열역학적 매개변수를 평가 (음수 값의 Gibbs 자유에너지, 양수 값의 엔탈피 및 엔트로피)에 의해 AgX-I 흡착이 자발반응 (정반응)의 흡열반응이며, 고온에서 반응이 양호함을 나타내었다.

#### 감사의 글

이 논문은 정부 (미래창조과학부)의 재원으로 한국연구재단의 지원을 받아 수행된 연구입니다 (원자력연구개발사업, No. NRF-2012M2A8A5025658).

#### REFERENCES

[1] Report of Japanese government to the IAEA Ministerial Conference on nuclear safety, “The accident at TEP- CO’s Fukushima nuclear power stations”, June (2011).  
 [2] Side event by government of Japan at 56th IAEA General Conference. September 17 (2012). “Current status of Fukushima Daiichi nuclear power station”, Avail-

- able from: <http://www.nsr.go.jp/archive/nisa/english/files/P-3-1.pdf>
- [3] S. Koyama, "Generation and treatment of radioactive contained wastewater in the Fukushima nuclear power plant accident", CRIEPI, July 22 (2013).
- [4] Tokyo Electric Power Company, "Supplementary materials related equipment for the multi-nuclide removal", A specific nuclear facility assessment review meeting (The 2<sup>nd</sup> meeting), Note 4, January 24 (2013).
- [5] Tokyo Electric Power Company. March 26 2013. "Nuclide analysis results of water at water treatment facility", Available from: [http://www.tepco.co.jp/en/nu/fukushima-np/images/handouts\\_120326\\_08-e.pdf](http://www.tepco.co.jp/en/nu/fukushima-np/images/handouts_120326_08-e.pdf).
- [6] H. Rindo, "Current status and perspective of Fukushima accident remediation", The 10<sup>th</sup> Anniversary of Korean Radioactive Waste Society, Jeju, Korea, October 17 (2013).
- [7] Y. Kani, M. Kamosida, and D. Watanabe, "Removal of radionuclides from wastewater at Fukushima Daiichi nuclear power plant : Desalination and adsorption methods", Hitachi Ltd. (2013).
- [8] Wikipedia. January (2014). "Fukushima disaster cleanup", Available from: [http://en.wikipedia.org/wiki/Fukushima\\_disaster\\_cleanup](http://en.wikipedia.org/wiki/Fukushima_disaster_cleanup).
- [9] Tokyo Electric Power Company. April 22 2014. "Status of contaminated water treatment and tritium at Fukushima Daiichi nuclear power station", Available from: [http://www.meti.go.jp/earthquake/nuclear/pdf/140424/140424\\_02\\_008.pdf](http://www.meti.go.jp/earthquake/nuclear/pdf/140424/140424_02_008.pdf).
- [10] "The Fukushima Daiichi Accident" Report by the Director General, Printed by the IAEA, STI/PUB/1710, August (2015).
- [11] T.M. Besmann and T.B. Lindemer, "Chemical thermodynamics of the system Cs-U-Zr-H-I-O in Light Water Reactor fuel cladding gap", Nucl. Tech., 40(3), 297-305 (1978).
- [12] B. Clement, L. Carnrel, G. Ducros, F. Funke, L. Herranz, A. Rydl, G. Weber, and C. Wren, "State of the ART report on iodine chemistry", Nuclear Energy Agency Committee on The Safety of Nuclear Installations, NEA/CSNI/R(2007)1 (2007).
- [13] S. Dicknson, H.E. Sims, E.B. Haltier, D. Jacquemain, C. Poletiko, F. Funke, Y. Drossinos, E. Krausmann, B. Herrero, T. Routamo, and B.J. Handy, "Iodine chemistry", The CEC 4<sup>th</sup> framework programme on nuclear fission safety, (1998).
- [14] J.A. Dean, "Lange's Handbook of Chemistry", 12th Edition, 4-40, McGraw-Hill Book Company, New York (1979).
- [15] WIKIPEDIA Solubility Table. 2015. Available from: [https://en.wikipedia.org/wiki/solubility\\_table](https://en.wikipedia.org/wiki/solubility_table).
- [16] A. Mayoral, T. Carey, P.A. Anderson, and I. Diaz, "Atomic resolution analysis of porous solids : A detailed study of silver ion exchanged zeolite A", Microporous & Mesoporous Mat., 166, 117-122 (2013).
- [17] A.M. Fonseca and I.C. Neves, "Study of silver species stabilized in different microporous zeolites", Microporous & Mesoporous Mat., 181, 83-87 (2013).
- [18] Q.Z. Zhai, S. Qiu, F.S. Xiao, Z.T. Zhang, C.L. Shao, and Y. Han, "Preparation, characterization and optical properties of the host-guest nanocomposite material zeolite-silver iodide", Mater. Research Bulletin, 35, 59-73 (2000).
- [19] B. Riebe, S. Dultz, and C. Bunnenberg, "Temperature effects on iodine adsorption on organo-clay minerals", Applied Clay Sci., 28, 9-16 (2005).
- [20] H.S. Lim and S.G. Lee, "Removal of I<sup>-</sup> and IO<sub>3</sub><sup>-</sup> from aqueous solution", Anal. Sci. and Tech., 22(6), 519-523 (2009), and Korean Pat. No. 10-1046433 (2011).
- [21] Y. Wang, H. Gap, A. Miller, and P. Pohl, "A new generation of adsorbent materials for entrapping and immobilizing highly mobile radionuclides", Municipal and Industrial Waste Disposal, 99-118, Sandia National Lab, USA (2014).
- [22] T. Nagata, K. Fukushi, and Y. Takahashi, "Prediction of iodide adsorption on oxides by surface complexation modeling with spectroscopic confirmation", J. Colloid & Interface Sci., 332, 309-316 (2009).

- [23] K.O. Mito and Y.F. Yokohama, "Process for the separation of radioactive iodine compounds by precipitation", US Pat. No. 5,352,367 (1994).
- [24] M.S. Palo, J.R. Utrilla, E. Salhi, and U. Gunten, "Ag-doped carbon aerogels for removing halide ions in water treatment", *Water Res.*, 41, 1031-1037 (2007).
- [25] J.S. Hoskins, T. Karanfil, and S.M. Serkiz, "Removal and sequestration of iodide using silver impregnated activated carbon", *Environ Sci. Tech.*, 36, 784-789 (2002).
- [26] A. Qayoom and S. A. Kazmi, "Effect of temperature on equilibrium and thermodynamic parameters of Cd(II) adsorption onto turmeric powder", *J. Chem. Soc., Pak.*, 34(5) 1084-1090 (2012).
- [27] S. M. Yakout and E. Elsherif, "Batch kinetics, isotherm and thermodynamic studies of adsorption of strontium from aqueous solutions onto low cost straw based carbons", *Carbon-Sci. Tech.*, 1, 144-153 (2010).
- [28] N. Karkhanei, H. Sepehrian, and R. Cheraghali, "Preparation, characterization and iodide sorption performance of silver-loaded mesoporous MCM-41", *Desalination and Water Treat.*, 56(11), 3096-3105 (2015).
- [29] W. Hao, W. Yan, C. Zi, and W.Y. Zhou, "Adsorption behaviors of iodide anion on silver loaded macroporous silicas", *Nucl. Sci. Tech.*, 26, 030301-1-030301-7 (2015).
- [30] H. Zhang, X. Gao, T. Guo, Q. Li, H. Liu, X. Ye, M. Guo, and Z. Wu, "Adsorption of iodide ions on a calcium alginate-silver chloride composite adsorbent", *Colloids and Surfaces A : Physicochem. and Eng. Aspects*, 386, 166-171 (2011).
- [31] M. Arshadi, M.J. Amiri, and S. Mousavil, "Kinetic, equilibrium and thermo- dynamic investigations of Ni, Cd, Cu and Co adsorption on barley straw ash", *Water Resources and Ind.*, 6, 1-17 (2014).
- [32] A. Bouzidi, F. Souahi, and S. Hanini, "Sorption behavior of cesium on Ain Oussera soil under different physicochemical conditions", *J. Hazard Mater.*, 184, 640-646 (2010).
- [33] K. Volchek, M.Y. Miah, W. Kuang, Z. Demaleki, and F.H. Tezel, "Adsorption of cesium on cement mortar from aqueous solutions", *J. Hazard Mater.*, 194, 331-337 (2011).